

鉛直等分布荷重を受ける円弧アーチの横倒れ座屈に関する研究

大阪大学 正員 波田凱夫
学生員 ○崎元達郎

1. 諸言 先に、筆者の一人は、Kirchhoff-Clebschの式を利用して、一般の曲線材の変形に関する基礎式を発表し、種々の解析を試みてきたが⁽¹⁾⁽²⁾、本研究は、先の基礎式を用いて、鉛直等分布荷重を満載する円弧アーチの横倒れ座屈を、解析したものである。

2. 解析上の仮定と約束 a) アーチは、軸方向に一定な断面を有す

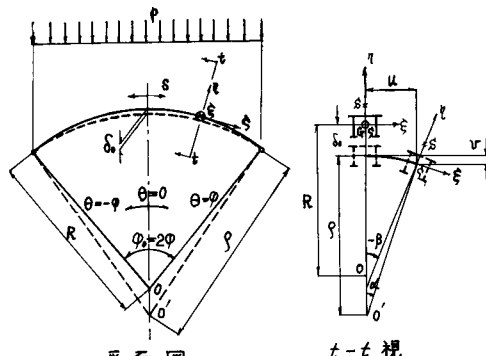
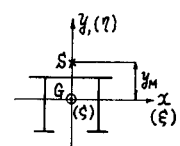
る單一アーチとい、断面は、弾性主軸 ζ に関して一軸対称とする。

従って(図-1)に示すように、断面図心 G と剪断中心 S とは一致せず、 η だけ離れている。 b) アーチは、断面の図心を連れた軸線が、変形前には、曲率半径 R 、中心角 ϕ $(=2\varphi)$ なる円弧をなしているとする。

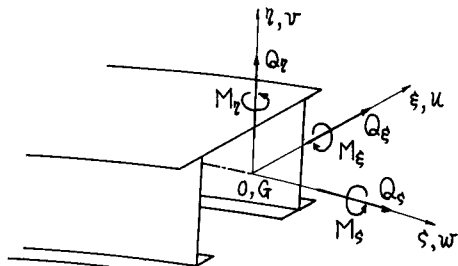
面外座屈への過程は、アーチ面内での変形が、まず独立に先行して起り、(図-1)

アーチ軸線が、曲率半径 ρ なる円弧をなした後に、面外変形を生ずるものとする。

c) 満載鉛直等分布荷重による任意断面での断面力(後に求める軸力 Q_s と面内曲げモーメント M_s)は、変形の前後を通じて変化しないものとする。



(图-2)



(图-3)

3. 変形の基本式 直交座標軸 (ξ, η, ζ) 、変位 (u, v, w) 、傾み角 α 、振れ角 β 、断面力 $(Q_s, Q_z, Q_s, M_s, M_z, M_s)$ を(図-2)、(図-3)のように取り、変形後の単位長のアーチリブに作用する外力成分 $(g_s, g_z, g_s, M_s, M_z, m_s)$ の正方向を、内力のそれと一致させる。変形の基本式は、次のように与えられる。(説明の詳細については、文献⁽²⁾を参照されたい。)

面内変形の基本式

$$\{EJ_x((k_0w)' - v'')\}'' - EFK_0(w' - vk_0) = -(m_s' + g_s)\left\{1 + \frac{v''}{k_0} - \frac{(k_0w)'}{k_0}\right\} \quad (1)$$

$$\{EF(w' + vk_0)\}' + k_0\{EJ_x((k_0w)' - v'')\}' = -(m_s'k_0 + g_s)\left\{1 + \frac{v''}{k_0} - \frac{(k_0w)'}{k_0}\right\} \quad (2)$$

(1)「軸力と等分布荷重を受ける曲線材の座屈について」 安宅、波田、林 20回年次講演会概要

(2) Die grundlegende statische Analyse des gekrümmten Stabes, Tech. Reports of the Osaka Univ. Vol. 16, No. 7/4 Yoshio Namita.

面外変形の基本式

$$[EJ_\xi \{U'' - (y_{M\beta})'' - \beta k_\xi\}]'' - [k_\xi \{\bar{G}\}(\beta' + U' k_\xi) - EC_w(\beta' + U' k_\xi)'' + Q_\xi y_M]'' + \{M_\xi(\beta' + U' k_\xi)\}' \\ + M'_\xi(\beta' + U' k_\xi) - Q_\xi \{U'' - (y_{M\beta})'' - \beta k_\xi\} = g_\xi - m_\xi(\beta' + U' k_\xi) - m'_\xi \quad (3)$$

$$\{\bar{G}\}(\beta' + U' k_\xi) - EC_w(\beta' + U' k_\xi)'' + Q_\xi y_M]'' - M_\xi \{U'' - (y_{M\beta})'' - \beta k_\xi\} + k_\xi EJ_\xi \{U'' - (y_{M\beta})'' - \beta k_\xi\} = -m_\xi \quad (4)$$

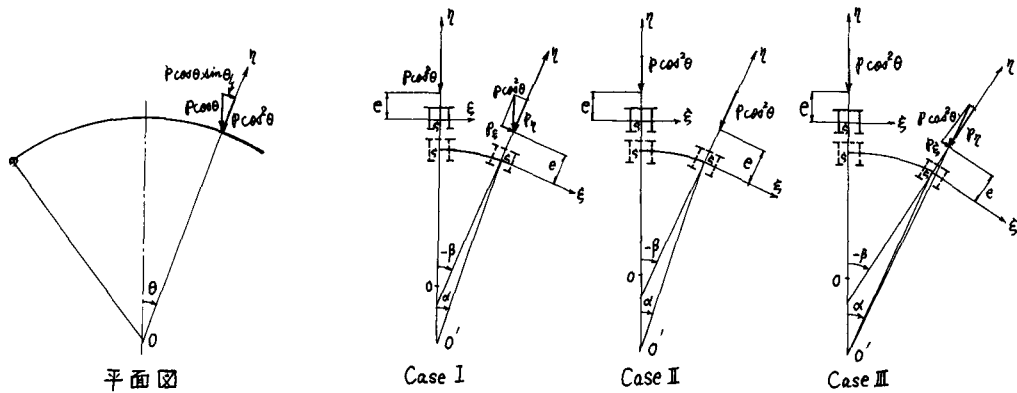
$$\text{ここに } Q_\xi = -[EJ_\xi \{U'' - (y_{M\beta})'' - \beta k_\xi\}]'' - M_\xi(\beta' + U' k_\xi) + k_\xi \{\bar{G}\}(\beta' + U' k_\xi) - EC_w(\beta' + U' k_\xi)'' - m_\xi \quad (5)$$

$$\bar{G} = G + Q_\xi i_p^2 + M_\xi k_x \quad (6)$$

微分記号(')は、アーチ軸に沿った長さ s に関するものである。

上式中、 k_0 は、変形前のアーチの面内曲率、 k_ξ, k_θ, k_s は、変形後の曲率及び捩れ率、 EJ_ξ, EJ_θ は、各軸まわりの曲げ剛性、 G は振り剛性、 \bar{G} は、図心に関する換算振り剛性、 i_p^2 は図心に関する断面極モーメント、 m_ξ は、 x 軸に関する断面の非対称性を表わす断面固有の定数、 EC_w は、曲げ振り剛性、 F は、部材断面積である。

4. 荷重方向と境界条件 鉛直等分布荷重 P は、断面図心より上方に、偏心距離 e なる断面对称軸上の点に作用するものとする。変形後の荷重方向としては、次の三つの場合を考えている。
Case I; ϕ の作用方向が、常に初めの方向に平行な場合。
Case II; ϕ の作用方向が、常に対称主軸 ξ に一致する場合。
Case III; ϕ が常に、変形後の曲率中心に向う場合。——(図-4)参照



(図-4)

境界条件としては、面外変形に対しては、すべての変位量及び振りによるそりが、拘束されている場合を考えている。すなはち、 $\theta = \pm \phi$ で $\alpha = 0, \beta = 0, d\alpha/d\theta = 0, d\beta/d\theta = 0$

面内変形については、次の二つの場合を考えている。Case-I-a (2-Hinge Arch);

$\theta = \pm \phi$ で $v = 0, w = 0, v' - w' = 0$, Case-I-b (Fixed Arch); $\theta = \pm \phi$ で $v = 0, w = 0$

従って、荷重方向と境界条件の組合せにより、Case I-a, Case I-b 等 6通りの場合が考えられるが、ここでは、以後 Case I-a の場合を例に取って説明する。

5. 頂点の挙みと変形後の曲率及び断面力 式(1), (2)を解いて、頂点の挙み δ_0 を求めると、 $1 + v''/k_0 - (k_0 w)'/k_0 = 1, \delta_0/R \neq 0$ を考慮して、 $\delta_0 = \bar{K}/R \times \bar{Y}R$ と表わせる。ここに、

$\bar{K} = PR^3/EJ_\xi, \bar{Y} = R^2 EF/EJ_\xi$ であり、 \bar{Y} は、 \bar{K} 及び中心角 ϕ の函数である。従って

変形後の曲率は、 $1/\rho = 1/R \cdot (1 - \delta_0/f + \delta_0/R) = 1/R \cdot (1 - \frac{\cos \phi}{1 - \cos \phi} \times \frac{\bar{Y}}{\bar{K}}) = \frac{a}{R}$ と書ける。

ここに、 $\alpha = 1 - \frac{R}{L}$, $\gamma = \frac{\cos\theta}{1 - \cos\theta} \times \bar{r}$ である。 次に、満載鉛直等分布荷重を受ける円弧アーチの水平反力 H , 面内曲げモーメント M_s , 軸力 Q_s を、それぞれ、次のように表わしておく。

$$H = PR\Gamma, M_s = -\frac{PR^2}{4} \cos 2\theta + PR^2 \Gamma \cos \theta - PR^2 \Phi, Q_s = PR^2 d \cos 2\theta - PR\Gamma d \cos \theta - \frac{PR}{2} \{d + 2\Gamma(1-d)\} \quad (7)$$

$$\text{ここで } \Gamma = \frac{3(\Phi \cos \theta \cos 2\theta - \sin \theta) + (\Gamma - 4\bar{r}) \sin 2\theta}{6\bar{r}(2 + \cos 2\theta + \bar{r}^{-1}) - 3(3 - \bar{r}^{-1}) \sin 2\theta}, \Phi = \frac{1}{4}(4\bar{r} \cos \theta - \cos 2\theta), d = \begin{cases} 0 & ; Q_s = -H = \text{const} \\ 1 & ; Q_s \neq \text{const} \end{cases}$$

6. 横倒れ座屈の基礎方程式 式(3),(4)を適当に変形し、変形後の荷重項、及び式(5),(6),(7)を代入する。この時、 $k_s = \frac{\partial}{\partial \theta} = \frac{\partial}{\partial R}$, $\beta \ll 1$ とし、 $u = Rd\theta$, $d/ds = \frac{1}{R} \frac{du}{d\theta}$ なる変換を行う。さらに、無次元量 $\lambda_k = PR^2/J_y$, $m = GJ/EJ_y$, $n = EC_w/R^2EJ_y$, $K = EJ_y/K^2EF$, $k_o = \frac{P^2}{R^2}$, $\nu_o = \frac{GJ}{R}$, $e_o = \frac{E}{R}$, $f_o = \frac{K}{R}$ を導入すると、基礎方程式は、次の形で得られる。
 $A_1 d''' + (A_2 \cos 2\theta + A_3 \cos \theta + A_4) d'' + (A_5 \sin 2\theta + A_6 \sin \theta) d' + A_7 \beta''' + (A_8 \cos 2\theta + A_9 \cos \theta + A_{10}) \beta''$
 $+ (A_5 \sin 2\theta + A_6 \sin \theta) \beta' + (A_{11} \cos 2\theta + A_{12} \cos \theta + A_{13}) \beta = 0 \quad (8)$

$$B_1 d''' + (B_2 \cos 2\theta + B_3 \cos \theta + B_4) d'' + (B_5 \sin 2\theta + B_6 \sin \theta) d' + B_7 \beta''' + (B_8 \cos 2\theta + B_9 \cos \theta + B_{10}) \beta''$$

 $+ (B_5 \sin 2\theta + B_6 \sin \theta) \beta' + (B_{11} \cos 2\theta + B_{12} \cos \theta + B_{13}) \beta = 0 \quad (9)$

上式の係数 A_i 及び B_i は、上記の無次元量より成る式である。

7. 近似解による座屈条件式 前記の式(8),(9)は、 α, β に関して、4階の変数係数連立微分方程式であり、一般には、厳密解を得るのは困難なので、Galerkin の方法で、座屈条件式を求めた。基底函数として、境界条件を満たす $Y_i(\theta) = \cos \frac{i\pi}{L} \cdot \theta - \cos i\pi$ を選ぶと、式(8),(9)は、次の形に書き表わされる。

$$\sum_{j=1}^l \delta_{ij} a_j + \sum_{j=1}^l \delta'_{ij} b_j = 0, \quad \sum_{j=1}^l \delta'_{ij} a_j + \sum_{j=1}^l \delta''_{ij} b_j = 0 \quad (i=1, 2, \dots, l)$$

上式における a_j, b_j が、零以外の解を持つという条件より、座屈条件式が得られる。すなはち、上式の係数行列式を、零と置いて次式を得る。

$$\begin{vmatrix} \delta_{11} & \delta_{12} & \delta_{11}' & \delta_{12}' \\ \delta_{21} & \delta_{22} & \delta_{21}' & \delta_{22}' \\ \delta_{11}' & \delta_{12}' & \delta_{11}'' & \delta_{12}'' \\ \delta_{21}' & \delta_{22}' & \delta_{21}'' & \delta_{22}'' \end{vmatrix} = 0 \quad (10)$$

ここに、行列要素 $\delta_{ij}, \delta'_{ij}, \delta''_{ij}, \delta'''_{ij}$ は、先に挙げた無次元パラメーター、中心角 θ 等の複雑な函数である。

8. 横倒れ座屈係数の数値計算 先に挙げた無次元パラメーターに、適当な数値を与えると、式(10)は、座屈荷重を代表するパラメーター λ_k に関する一般的な固有値問題となるから、式(10)を、Hessenberg の方法により、固有多項式に展開し、さうに Newton の方法によって、固有値 λ_k を算出した。 $\kappa_o = 0, \nu_o = 0, e_o = 0, f_o = 0, K = 0, \bar{r} = 0, \gamma = 0, \alpha = 1$ の場合について、計算した結果を (図-5) ~ (図-10) に示す。L はアーチ円弧長である。

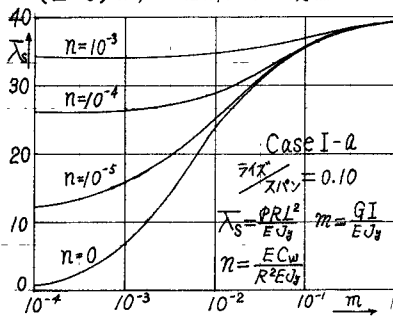
9. 参照 アーチの中心角が、一定な場合、 $m (= \frac{GJ}{EJ_y})$ が、充分に大なる場合は、 $n = (\frac{EC_w}{R^2EJ_y})$ の大小に関係なく、座屈荷重は一定値に近づくが、 m が小さい場合は、 n の大小が、座屈荷重の大小に、大きく影響を与える。アーチのスパン-ライズ 比が、

大きくなれば、当然横倒れを起こし易くなるが、 m が小さくなるほど、その影響は顕著である。載荷全荷重の大きさ、が等しいとして、鉛直等分布荷重の場合の座屈荷重を、求心等分布荷重の場合のそれと比較した場合(この比較法は、中心角 φ_0 が大きくなればその意味を失う。)、通常のアーチ($\varphi_0 = 0.2\pi \sim 0.5\pi$)で、援り剛性の比較的小い断面($m = 10^{-4} \sim 10^{-3}$)の場合には、かなり小さく出る(10~20%程度)傾向がある。従って、この場合には、危険側となるが、計算例が少ないので、断言はできない。

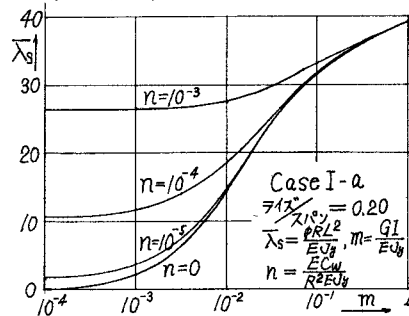
その他、通常のスパン-ライズ比のアーチでは、面内方向の支承条件の座屈荷重に及ぼす影響は、無視できるまでに小さい、軸力を水平反力で近似して、座屈荷重を算出しても、その誤差は、無視し得る、等の結果を得ている。

なお、計算には、日本電子計算機KKの計算機 Burroughs B-5500 を用いた。

(図-5) m, n と座屈係数の関係



(図-6) m, n と座屈係数の関係

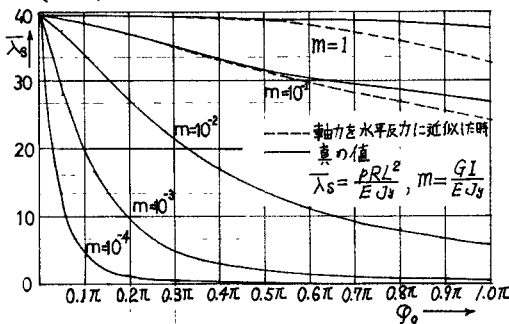


等分布荷重の場合のそれと比較した場合(この比較法は、中心角 φ_0 が大きくなればその意味を失う。)、通常のアーチ($\varphi_0 = 0.2\pi \sim 0.5\pi$)で、援り剛性の比較的小い断面($m = 10^{-4} \sim 10^{-3}$)の場合には、かなり小さく出る(10~20%程度)傾向がある。従って、この場合には、危険側となるが、計算例が少ないので、断言はできない。

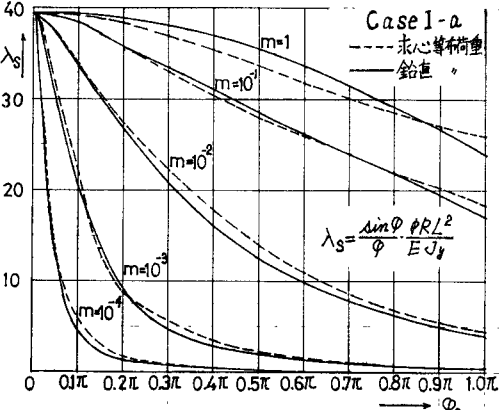
その他、通常のスパン-ライズ比のアーチでは、面内方向の支承条件の座屈荷重に及ぼす影響は、無視できるまでに小さい、軸力を水平反力で近似して、座屈荷重を算出しても、その誤差は、無視し得る、等の結果を得ている。

なお、計算には、日本電子計算機KKの計算機 Burroughs B-5500 を用いた。

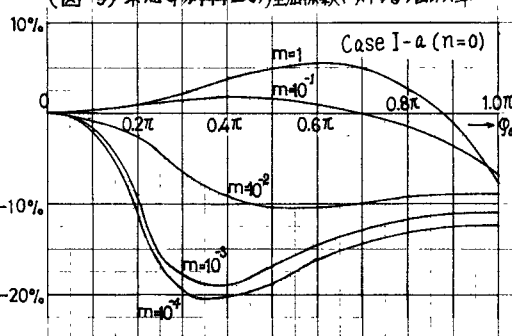
(図-7) 中心角 φ_0 と座屈係数の関係($n=0$)



(図-8) 求心等分布荷重の座屈係数との比較



(図-9) 求心等分布荷重の座屈係数に対する増減率



(図-10)

Case I-b(面内固定)の Case I-a(面内ビン)に対する座屈係数の減少率

